

طارق عبد الرضا الظاهر؛ سمير عطا مكي وحبيبة كاظم عاتي العتابي

## تأثير التشعيع بأشعة $\gamma$ على الثوابت البصرية للغشاء الرقيق $\text{Cr}_2\text{O}_3$

### المحضر بطريقة الترسيب الكيميائي الحراري

طارق عبد الرضا الظاهر؛ سمير عطا مكي وحبيبة كاظم عاتي العتابي

قسم الفيزياء - كلية التربية ابن الهيثم - جامعة بغداد

### الخلاصة

حضرت أغشية رقيقة من أوكسيد الكروم  $\text{Cr}_2\text{O}_3$  بطريقة الترسيب بالتحلل الكيميائي الحراري عند درجة حرارة  $(450^{\circ}\text{C})$  وبسمك nm (245). تم التعرف على التركيب البلوري للغشاء الرقيق باستخدام حيود الأشعة السينية. تمت دراسة الثوابت البصرية المتمثلة بمعامل الامتصاص ومعامل الخمود ومعامل الانكسار وثابت العزل الكهربائي الحقيقي والخيالي. تمت دراسة تأثير التشعيع بأشعة كاما ( $^{137}\text{Cs}$ ) على الثوابت البصرية وكان التأثير واضحًا عند مقارنته مع تلك للاغشية غير المشععة.

## The effect of $\gamma$ –Irradiations on the Optical Constants of $\text{Cr}_2\text{O}_3$ Thin Films Prepared by Chemical Spray Pyrolysis

T.A. Al-Dahir , Samir Ata Maki and Habiba Kadhim Al-Attabi

Physics Department College of Education (Ibn Al-Haitham Bagdad University

### Abstract:

Thin film of  $\text{Cr}_2\text{O}_3$  are prepared by chemical spray pyrolysis at  $(450^{\circ}\text{C})$  of the thickness (245) nm. X-rays diffraction is used to identify its structure. Optical constants like absorption coefficient; extinction coefficient exposure to the gamma radiation., refractive index, as well as the real and imaginary parts of dielectric constant are studied. Then, the effect of  $\gamma$ - radiation  $\text{Cs}^{137}$  on optical constant of the prepared films clear as it compared with that is not

### 1-المقدمة

بعد أوكسيد الكروم الثلاثي  $\text{Cr}_2\text{O}_3$  من المواد المهمة تقنياً وذلك لدوره بتوفير حماية عالية للمواد ولكونه من أصل الأكسيد في تدرج المعادن Mohs 8.5 وفي تدرج الصلادة المايكروية لحد 29.5 Gpa وله معامل احتكاك واطئ حيث يستعمل لحماية فلز الانود الكهربائي في الخلايا الكهروكيميائية. وكمرشح ضوئي في منطقتي الطيف المرئي وتحت الحمراء وكذلك في تحضير مجموعات الطاقة الشمسية وكغشاء مطفأ اللمعة في عارضات البلورات السائلة [3-2-1].

## طارق عبد الرضا الظاهر؛ سمير عطا مكي وحبيبة كاظم عاتي العتابي

تصنف اكاسيد الكروم ضمن عائلة اكاسيد المعادن الانتقالية وتتراوح صفاتها بين القاعدية والامفوتيروية والحامضية تبعاً لتأكسد الحاله. وهناك عدة تحولات طورية حيث يأخذ  $\text{Cr}_2\text{O}_3$  نظام الكورنديم ( $\text{Al}_2\text{O}_3$ ) (السداسي المحكم الرص) و  $\text{CrO}_2$  ضمن نظام الروتيل (الرياعي القائم)  $\text{Cr}_3\text{O}_{12}$  ،  $\text{CrO}_3$  يأخذ نفس الصياغة في ثلاثة اتجاهات. أما  $\text{CrO}_3$  ،  $\text{Cr}_2\text{O}_5$  لا يتصل بالسلسلة الرباعية  $\text{CrO}_4$  لهذا فان الاوكسيد المستقر من اكاسيد الكروم هو اوكسيد الكروم الثلاثي  $\text{Cr}_2\text{O}_3$  وهو مادة مغناطيسية عازلة وفيه ذرات الكروم تشغل ثلثي الفراغ البيني لثمانى الاووجة بين الطبقتين حيث ذرات الكروم تكون طبقة شبيهة بذلك للكرافايت وتكون موازية لطبقة الاوكسجين حيث ان  $\text{Cr}_2\text{O}_3$  يكون خليه بدائية وفيها ذرات الكروم تتناسب مع طبقتين من الاوكسجين لتكون  $\text{CrO}_6$  مشوه وفيه  $\text{CrO}_2$  (Metastable) في درجة حرارة الغرفة ويتفكك الى  $\text{Cr}_2\text{O}_3$  عند تسخينه. ومن الصعوبة تصنيع والاحتفاظ باطوار  $\text{CrO}_2$  لأن اوكسيد الكروم المستقر فقط عندما يكون ضغط الاوكسجين عالي. اما بالنسبة للكروم تكون عدد من اكاسيد التنافسية مثل ،  $\text{CrO}_3$  ،  $\text{Cr}_2\text{O}_5$  ،  $\text{Cr}_8\text{O}_{21}$  ،  $\text{Cr}_2\text{O}_3$  و اكثرها استقراراً  $\text{Cr}_2\text{O}_3$ . وان الاوكسجين O يتصل بالاووجة والحفارات او الزوايا للخلية وبطريقة ما تتصل كل ذرة اوكسجين بأربعة ذرات كروم .

تمت دراسة الخواص التركيبية والبصرية والكهربائية لأغشية اوكسيد الكروم  $\text{Cr}_2\text{O}_3$  المحضرة بتقنيات ترسيب وقواء وظروف ترسيب مختلفة [7-6-5]. وحسب علمنا لم يدرس أي من الباحثين تأثير الاشعاع على الغشاء الرقيق اووكسيد الكروم لذا تم تحضير غشاء  $\text{Cr}_2\text{O}_3$  ودراسة الخواص التركيبية والبصرية لحالة قبل التشيع باشعة كاما (γ) وبعد.

## 2- تفاصيل العمل التجاريبي

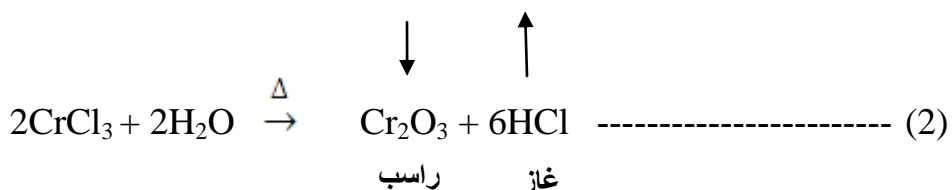
لتحضير غشاء اووكسيد الكروم  $\text{Cr}_2\text{O}_3$  استعمل كلوري드 الكروم المائي  $[\text{CrCl}_3 \cdot 6\text{H}_2\text{O}]$  وبنقاوة 97 % وهي مادة على شكل مسحوق ذي لون اخضر غامق، سريعة الذوبان في الماء، وزنها الجزيئي (158.35) وزنها المكافئ (88.816) وحضر محلول بعياره (0.1N) بأذابة (0.8882gm) من كلوريد الكروم في (100ml) من الماء المقطر حيث تم ايجاد وزن المادة المطلوب اذابتها على وفق المعادلة الآتية :

$$N = (W_t / eq.W_t)(100/v_1) \quad (1)$$

حيث:

$N$ : العيارية .  $W_t$ : وزن المادة المطلوب اذابتها .  $eq.W_t$  : الوزن المكافئ للمادة المذابة .  $v_1$  : حجم الماء المقطر.

لقد تمت اذابة مادة  $(\text{CrCl}_3 \cdot 6\text{H}_2\text{O})$  في الماء المقطر باستعمال خلاط مغناطيسي (magnetic Stirrer) لمدة (15 min) لضمان تجانس محلول، وحفظ المحلول في قبضة حجمية وترك لمدة (24hr) للتأكد من عدم وجود راسب او عالق فيه وبذلك حصلنا على المحلول المطلوب لترسيب غشاء  $(\text{Cr}_2\text{O}_3)$  وعند ترسيب المحلول على القواعد الساخنة حدث تفاعل بين ذرات المادة بفعل الحرارة فترسبت مادة اووكسيد الكروم الثلاثي على سطح القاعدة وتحرر غاز كلوريد الهيدروجين (غاز سام) حسب التفاعل الآتي :



ان  $\Delta$  درجة حرارة القواعد المناسبة لترسيب غشاء  $(\text{Cr}_2\text{O}_3)$  وكانت ( $450^\circ\text{C}$ ) ، وبضغط هواء ( $10^5 \text{ N/m}^2$ ) داخل الغرفة الهوائية الزجاجية في جهاز الرش وكان ارتفاع الجهاز ( $30 \pm 1 \text{ cm}$ ) هو بمعدل ترسيب (5ml/min). ويتم ترسيب المحلول لمدة (15Sec) تعقبها مدة توقف قدرها (2min) لضمان رجوع درجة حرارة القواعد التي انخفضت بسبب الرذاذ البارد الى قيمتها الاولى وكذلك ضمان حصول النماء البلوري للمادة المرسبة

## طارق عبد الرضا الظاهر؛ سمير عطا مكي وحبيبة كاظم عاتي العتابي

وتتكرر هذه العملية بالتعاقب عدة مرات الى ان يتم الوصول الى السمك المطلوب ، فوجدنا ان الغشاء ذا لون اخضر شفاف ذو التركيب البلوري المتعدد كان متجانس وذا تلاصق جيد بالقاعدة الزجاجية. اما القياسات العملية فتمت بأعتماد الطريقة الوزنية لقياس سمك الغشاء المرسب اذ توزن القاعدة الزجاجية قبل وبعد ترسيب الغشاء عليها باستعمال الميزان الالكتروني الحساس من نوع (Mettler AE-160) ( ذو حساسية  $10^{-4}$  g). التعرف على طبيعة التركيب البلوري لمادة الغشاء ومدى تأثير الاشعاع عليها كان من دراسة نمط حيود الاشعة السيني باستعمال جهاز Siemens X-ray Diffractometer . ولإجراء القياسات البصرية استعمل جهاز مطياف من نوع (UV-Spectrophotometer) لمدى الاطوال الموجية (300-900nm) . استعمل المصدر المشع  $^{137}\text{Cs}$  ، لغرض تشيع العينات المستعملة. حيث يطلق عنصر سيرزيوم اشعة كماما بطاقة هي (0.611 MeV) ويجري تصحيح الفعالية بمور الزمن اذ ان زمن عمر النصف للسيرزيوم يساوي (30) Year و كان معدل جرعة التعرض في الوقت الذي تم فيه التشيع مساوياً الى (0.64 R/h). وشعنت العينات لمدة (6) ساعات .

### 3- النتائج والمناقشة

#### 3-1 الدراسة التركيبية :

اتضح من دراسة الاشعة السينية للاغشية المحضرة بدرجة حرارة  $300^{\circ}\text{C}$  (30) هي عشوائية للتركيب البلوري وعند درجة  $400^{\circ}\text{C}$  ظهرت قمة واحدة في  $2\theta = 36.2$ . اما عند درجة  $450^{\circ}\text{C}$  فيبين الشكل (1) تركيب الاغشية المحضرة بدرجة حرارة  $450^{\circ}\text{C}$  (450) ، حيث لاحظنا ظهور ظهور أربع قمم في طيف الحيود عند السطوح (012) و (104) و (110) و (006) وبذلك فقد حصلنا على غشاء متعدد التبلور وهذا يتفق مع المصدر [8] . وقد تم ايجاد قيمة  $d$  الذي يمثل المسافة بين مستويين متتاليين وكذلك الحجم الحبيبي لكل قمة وتمت مقارنة هذه النتائج مع بطاقة المؤسسة الاميركية لفحوص المواد (ASTM) ،

(American standard for Testing Material) Cad Number 33 . وكانت النتائج ذات تطابق جيد وكما مبين بالجدول (1).

الشكل (2) يمثل طيف حيود الاشعة السينية لغشاء  $\text{Cr}_2\text{O}_3$  بعد تشعيده فنلاحظ زيادة ارتفاع القمم مقارنة مع شكلها قبل التشيع ، عند المستويات (012) و (110) ، وتدل هذه الزيادة في ارتفاع القمم على زيادة درجة تبلور المادة ، وكذلك هناك زيادة في الحجم الحبيبي وكما مبين في الجدول(2)

تم حساب معدل الحجم الحبيبي باستعمال معادلة شرر [9]:

$$D_{hkl} = \frac{0.9\lambda}{B_{hkl} \cos \theta_B} \quad \dots \quad (3)$$

إذ تمثل  $\lambda$ : الطول الموجي للأشعة السينية الساقطة،  $B_{hkl}$  : عرض منحنى النصف للقمة.  $\theta_B$  : زاوية حيود براك.

#### 3-2 الثوابت البصرية :

تم حساب معامل الامتصاص لغشاء اوكسيد الكروم  $\text{Cr}_2\text{O}_3$  قبل وبعد التشيع من طيف الامتصاصية لهذا الغشاء باستعمال المعادلة التالية [10]:

$$\alpha = 2.303 \left( \frac{A}{t} \right) \quad \dots \quad (4)$$

## طارق عبد الرضا الظاهر؛ سمير عطا مكي وحبيبة كاظم عاتي العتابي

حيث :

$$\alpha : \text{معامل الامتصاص} , A : \text{الامتصاصية} . t : \text{سمك الغشاء} .$$

يبين الشكل (3) تغير معامل الامتصاص كدالة لطاقة الفوتون الساقط لغشاء اوكسيد الكروم  $\text{Cr}_2\text{O}_3$  قبل وبعد التشيع فنلاحظ ان تتغير معامل الامتصاص قليلاً عند الطاقات الفوتونية الواطئة ثم تبدأ قيمة معامل الامتصاص بالزيادة السريعة بالقرب من حافة الامتصاص البصري عند مدى الطاقات  $V = 2.5-3.5 \text{ eV}$  مما يعكس وجود انتقالات الكترونية مباشرة ضمن هذا المدى من الطاقات الفوتونية وهذه النتيجة تتفق [6] ، وان طاقة الامتصاص لا تكون حادة وهذا يدل على ان الغشاء المرسّب بهذه الطريقة ذو تركيب متعدد التبلور [13] ، وعند تشعيذه لم يظهر اي تغير في سلوكية الغشاء الا ان قيم معامل الامتصاص قد قلت عن قيمته قبل التشيع وان سبب تناقص قيمة معامل الامتصاص للغشاء بعد التشيع قد يرجع الى زيادة انتظام الحبيبات البلورية وازيداد حجمها واعطى الفرصة للحبيبات الصغيرة كي تنمو وذلك بازالة الحواجز او الحدود الحبية بين هذه الحبيبات البلورية مما ادى الى ازالة الامتصاصية الاضافية الناتجة عن الحدود الحبية وبهذا يقل الامتصاص [6] .

تم حساب معامل الخمود (K) لغشاء اوكسيد الكروم  $\text{Cr}_2\text{O}_3$  بدلالة الطول الموجي ( $\lambda$ ) و معامل الامتصاص ( $\alpha$ ) من العلاقة الآتية [11] :

$$K = \frac{\alpha \lambda}{4\pi} \quad (5)$$

يبين الشكل (4) تغير معامل الخمود كدالة لطاقة الفوتون لغشاء اوكسيد الكروم  $\text{Cr}_2\text{O}_3$  قبل وبعد التشيع حيث نلاحظ وجود قيم صغيرة في المنحنيات عند طاقات (2 eV) و (2.6 eV) وهذا التحدب (الارتفاع ثم الانخفاض) في قيم معامل الخمود ناتج عن زيادة الانتقالات الالكترونية عند تلك الطاقات بين حرمة التكافؤ والمستويات الموضعية داخل فجوة الطاقة [6]. ثم بعد ذلك تعود قيم معامل الخمود بالارتفاع عند الطاقات القريبة من حافة الامتصاص البصري. ومن الممكن ان تكون ناتجة عن زيادة معامل الخمود عند هذه الطاقات بسبب زيادة الامتصاصية في هذه المنطقة ونقصان النفاذية فيها،اما بعد التشيع الغشاء نجد ان التشيع ادى الى تقليل قيم معامل الخمود وبعزى السبب الى نقصان عدد تصدامات الفوتون مع المادة وبذلك سوف تقل امتصاصية المادة ومن ثم يقل معامل الخمود. ونلاحظ مدى تشابه هذه المنحنيات مع منحنيات معامل الامتصاص وتغيرهما مع طاقة الفوتون وان هذا التشابه ناتج عن اعتقاد حساب قيم معامل الخمود على قيم معامل الامتصاص.

تم حساب معامل الانكسار خلال معرفة الانعكاسية (R) والتي ترتبط بالامتصاصية (A) والنفاذية (T) بالعلاقة الآتية :

$$A+R+T=1 \quad (6)$$

ويعطى معامل الانكسار بالعلاقة الآتية [12] :

$$n = \{(1+R)^2 / (1-R)^2 - (K \cdot 2 + 1)\}^{1/2} + (1+R) / (1-R) \quad (7)$$

يمثل الشكل (5) تغير معامل الانكسار كدالة لطاقة الفوتون لغشاء اوكسيد الكروم  $\text{Cr}_2\text{O}_3$  قبل وبعد التشيع فنلاحظ ثبوت قيمة معامل الانكسار عند الطاقات الفوتونية الواطئة وبحدود  $eV = 1.4-1.8$  ثم التناقص القليل لمعامل الانكسار عند الطاقات الفوتونية  $eV = 2.2-2.6$  وبعد تأخذ قيمة معامل الانكسار بالثبوت عند الطاقات  $eV = 2.6-2.9$  ومن ثم تبطر بشكل سريع مع زيادة طاقة الفوتون ،وبعد التشيع حيث لم يظهر اي تغير في سلوكية المنحني الا ان قيمة معامل الانكسار تزداد عن قيمها قبل التشيع وقد يعود السبب الى ان اجراء عملية التشيع ادى

## طارق عبد الرضا الظاهر؛ سمير عطا مكي وحبيبة كاظم عاتي العتابي

إلى كبر متوسط قطر الحبيبات البلورية لمادة الغشاء مما يؤدي إلى نقص في نفاذيتها للاشعة الساقطة عليها وبالتالي زيادة معامل انكسارها [6].

عملية فقدان الطاقة بسبب التفاعل بين الضوء وشحنات الوسط وما ينبع عنه من استقطاب لشحنات ذلك الوسط وهذا الاستقطاب يوصف عادة بثابت العزل الكهربائي المعد للوسط الذي يعبر عنه بالعلاقة الآتية [6] :

$$\epsilon = \epsilon_1 + i \epsilon_2 \quad \dots \quad (8)$$

و تم حساب الجزء الحقيقي والخيالي لثابت العزل الكهربائي من المعادلين الآتيين (9) و (10) على التوالي : [13]

$$\epsilon_1 = n^2 - k^2 \quad \dots \quad (9)$$

$$\epsilon_2 = 2n \cdot k \quad \dots \quad (10)$$

حيث:

$\epsilon_1$  : الجزء حقيقي لثابت العزل الكهربائي.

$\epsilon_2$  : الجزء خيالي لثابت العزل الكهربائي.

يبين الشكل (6) تغير الجزء الحقيقي لثابت العزل الكهربائي كدالة لطاقة الفوتون الساقط قبل وبعد التشيع وخلال هذه الشكل يمكن ملاحظة مدى التشابه بين منحنيات هذه و منحنيات معامل الانكسار لهذه الاشعة ويعزى هذا التشابه إلى اعتماد حساب قيم الجزء الحقيقي من ثابت ( $\epsilon_1$ ) على قيم معامل الانكسار أكثر من قيم معامل الخמוד حسب المعادلة (5) وذلك لأن قيم معامل الخמוד قليلة جداً مقارنة مع قيم معامل الانكسار . ونلاحظ أن قيم ( $\epsilon_1$ ) قد زادت بعد التشيع وهذا ناتج عن الزيادة في قيم معامل الانكسار لأغشية  $\text{Cr}_2\text{O}_3$  بعد التشيع .

يبين الشكل (7) تغير الجزء الخيالي لثابت العزل الكهربائي كدالة لطاقة الفوتون الساقط قبل وبعد التشيع. إن الذروة عند القيم الواطنة للطاقات الفوتونية تمثل انقلاب جانب التحدب الموجود في منحني معامل الخמוד الذي سبق تقسيرة وذلك لارتباط مفهوم الجزء الخيالي لثابت العزل بمفهوم معامل الخמוד ، ومن اعتماد حساب قيم  $\epsilon_2$  على معامل الخמוד حسب معادلة (6) ونلاحظ أن قيم  $\epsilon_2$  قد قل بعد التشيع لمدة 6 ساعات قد تكون ناتجة عن نقصان قيمة معامل الخמוד بعد التشيع كما ذكر أعلاه .

## 4-الاستنتاجات:

اتضح ان الغشاء الرقيق المحضر هو  $\text{Cr}_2\text{O}_3$  وعند تشعيجه باشعة كاما اظهر تغير الخواص التركيبية حيث زيادة درجة تبلور المادة ، وكذلك هناك زيادة في الحجم الحبيبي و تغير الخواص البصرية حيث تغيرت قيمة معامل الامتصاص من  $\text{cm}^{-1}$  (10<sup>5</sup>) إلى (10<sup>4</sup>) و معامل الخמוד من (0.3) إلى (0.25) و معامل الانكسار من (3.67) إلى (3.75) و الجزء الحقيقي لثابت العزل (9.58) إلى (60) و الجزء الخيالي لثابت العزل (2.1) إلى (1.9).

طارق عبد الرضا الظاهر؛ سمير عطا مكي وحبيبة كاظم عاتي العتابي

## 5- References

1. Su, M.y, Simkovich, G :"Point defect structure of  $\text{Cr}_2\text{O}_3$ ", Ph. D. thesis Pennsylvania State Univ., State Collge. Applied Research Lab, (1987).
2. F. Beck and H.Schutz,: Phys.Chem. **88** (1984) 155-163.
3. aSolidia, 75 (1983)
4. P.G.Ivanova ,S.M.watts, and D.M.Lind,: J. Appl. Phys.,**89**. (2001).1035.
5. ايمان محمد الجبوري، " الخواص الضوئية والانتقالات الالكترونية لأغشية  $\text{Fe}_2\text{O}_3$  ،  $\text{Cr}_2\text{O}_3$  ومزجها" المحضرة بطريقة الترسيب الكيميائي "، رسالة ماجستير ، جامعة البصرة (1988) .
6. ايناس سليمان المربان ، " دراسة الخواص البصرية والكهربائية لأغشية أوكسيد الكروم  $\text{Cr}_2\text{O}_3$  و أوكسيد الكوبالت  $\text{Co}_3\text{O}_4$  الرقيقة ومزجها" ورسالة ماجستير ، جامعة بغداد ، (1997) .
7. P. Hones . F. Levy and N.X .Randall,:"Influence of deposition parameters on mechanical properties of Sputter-deposited  $\text{Cr}_2\text{O}_3$  thin Films":J. Mat.Res **14** ;(1999),.3623.
8. T. Ivanova , K .Gesheva , A. Cziraki , A. Szekeres and E. Vlaikova ; Conférences Séries **113** (2008) .
9. سامي سلمان جياد " الخصائص البصرية والتركيبية لأغشية  $(\text{SnO}_2)$  المشووبة بالفلور والمشعة بأشعة كاما" ، رسالة ماجستير - جامعة بغداد ( 2005 ) .
10. B. Sapoval and Hermann :"Physics of Semiconductors" Spring Erverlag, New York (1995).
11. E. I .Ugwn, and D.U. Onah, , "Optical characteristics of chemical Bath Deposited Cds Thin filn charactistics within Uv,visible, and NIR Radiation,**8(1)**.(May2007)..
12. William D.Callister, : "Materials Science and Engineering, Introduction" , 6<sup>th</sup> edition, John Wiley & Sons, Inc. (2003).
13. مصطفى عامر حسن " تأثير عمليتي الإشبابة والتلدين في بعض الخصائص الفيزيائية لغشاء  $\text{Cu}_2\text{S}$  المحضر بطريقة الرش الكيميائي " رسالة ماجستير الجامعة التكنولوجية 2006.س

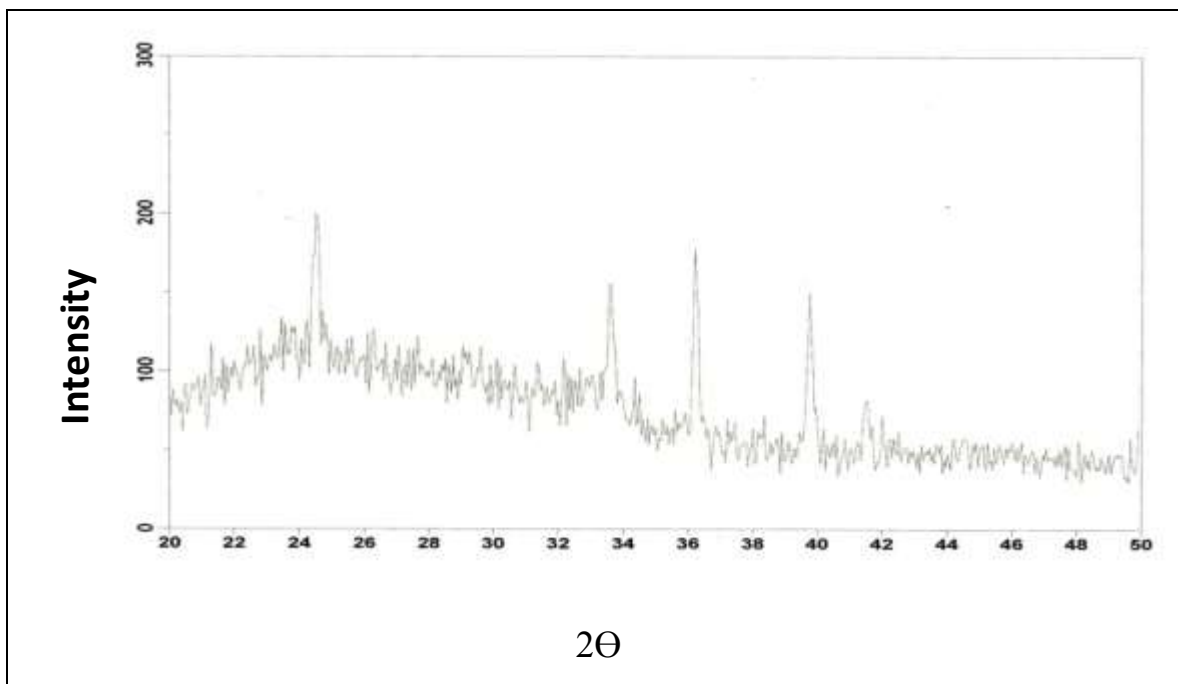
الجدول (1) قيم XRD و ASTM للغشاء المحضر لغشاء Cr<sub>2</sub>O<sub>3</sub>.

XRD (2θ)	XRD this work (d) Å	ASTM (d) Å	ASTM (hkl)
24.54	3.62	3.63	(012)
33.61	2.66	2.66	(104)
36.23	2.47	2.47	(110)
39.76	2.26	2.26	(006)

الجدول (2) قيم d و 2θ والحجم الحبيبي وسطوح حيود الأشعة السينية

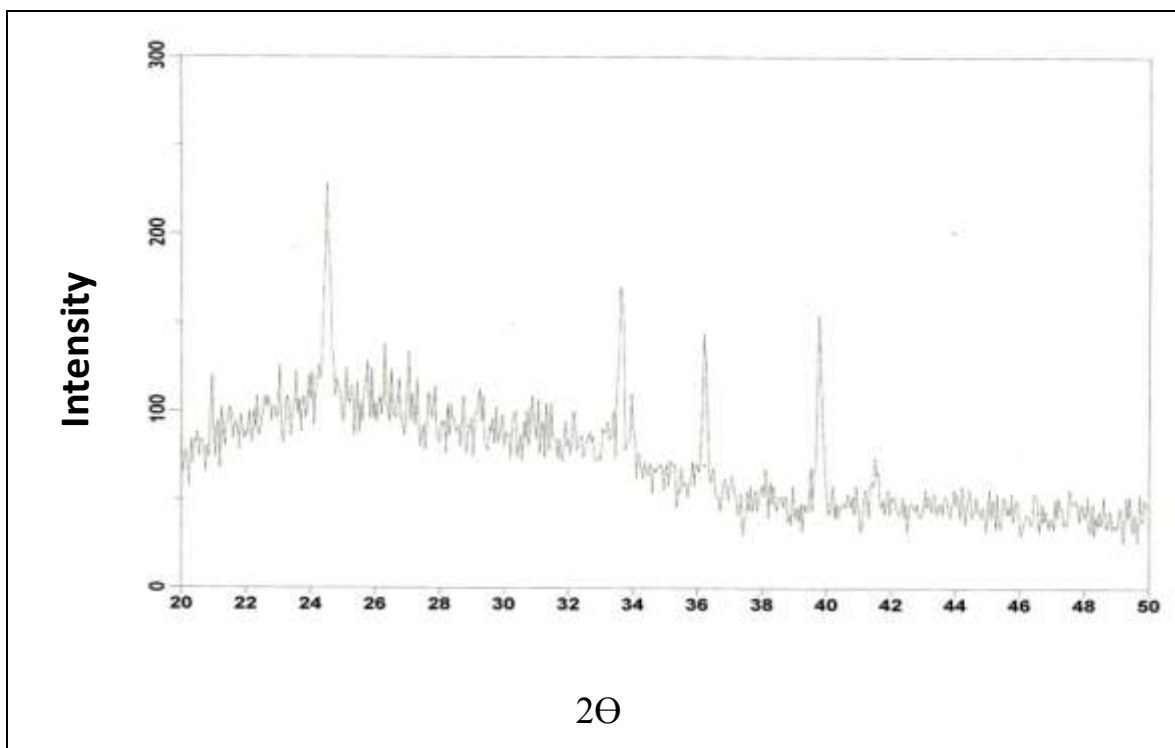
الحجم الحبيبي nm	2θ	d <sub>hkl</sub> (Å)	المستوى	الحالة
20.69	24.54	3.6242	(012)	قبل التشيع
20.57	33.61	2.663	(104)	
23.11	36.23	2.4772	(110)	
22.88	39.76	2.265	(006)	
28.52	24.54	3.6244	(012)	بعد التشيع
33.78	33.62	2.663	(104)	
34.54	36.23	2.4774	(110)	
33.22	39.77	2.265	(006)	

طارق عبد الرضا الظاهر؛ سمير عطا مكي وحبيبة كاظم عاتي العتابي  
للغشاء المحضر  $\text{Cr}_2\text{O}_3$  قبل وبعد التشيع.

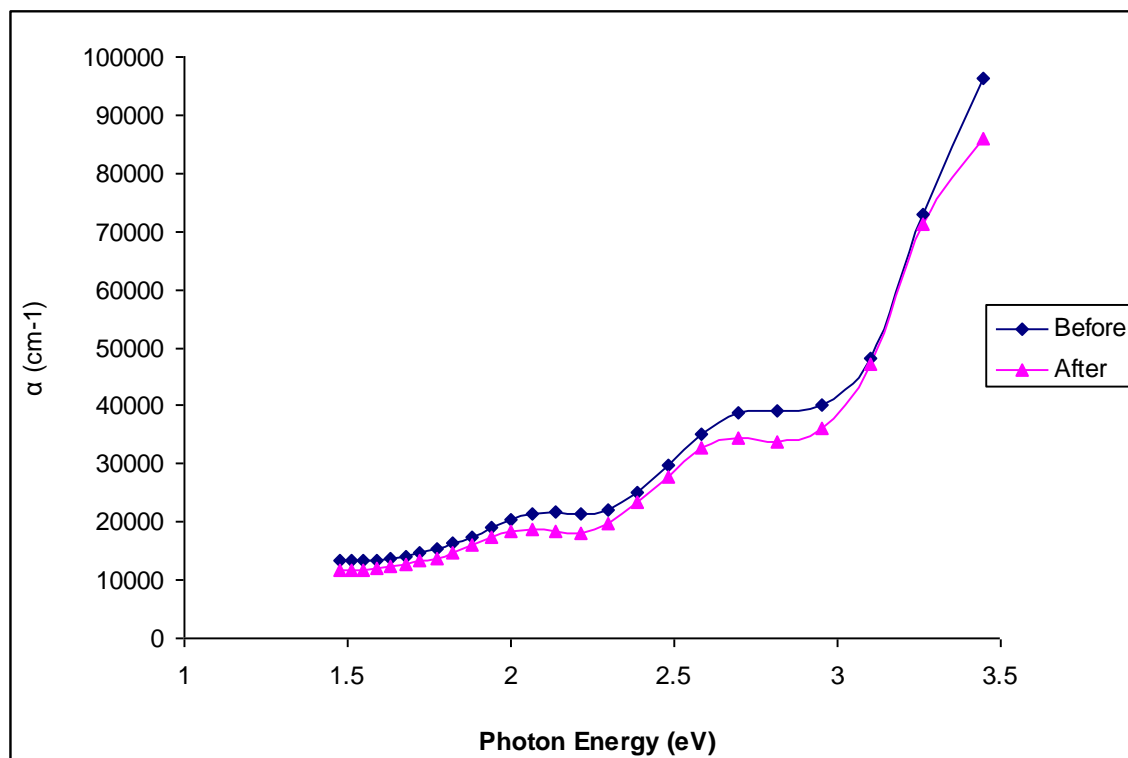


الشكل (1) مخطط حيود الاشعة السينية لغشاء لغشاء  $\text{Cr}_2\text{O}_3$  قبل التشيع.

طارق عبد الرضا الظاهر؛ سمير عطا مكي وحبيبة كاظم عاتي العتابي

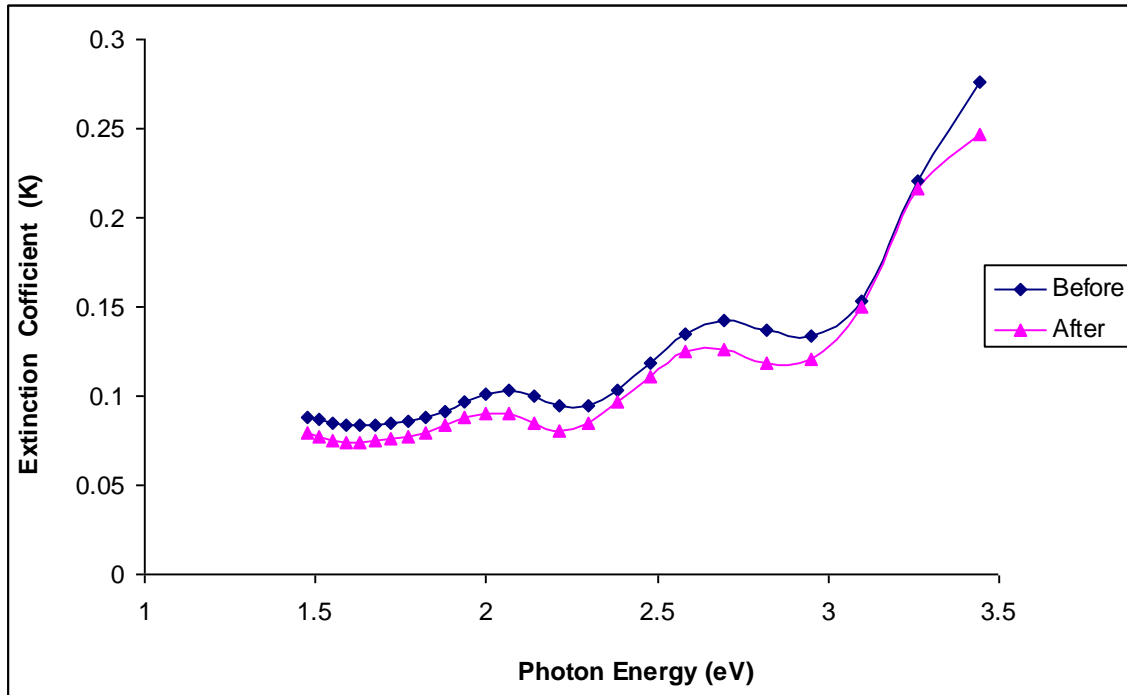


الشكل (2) مخطط حيود الاشعة السينية لغشاء  $\text{Cr}_2\text{O}_3$  بعد تشميع.

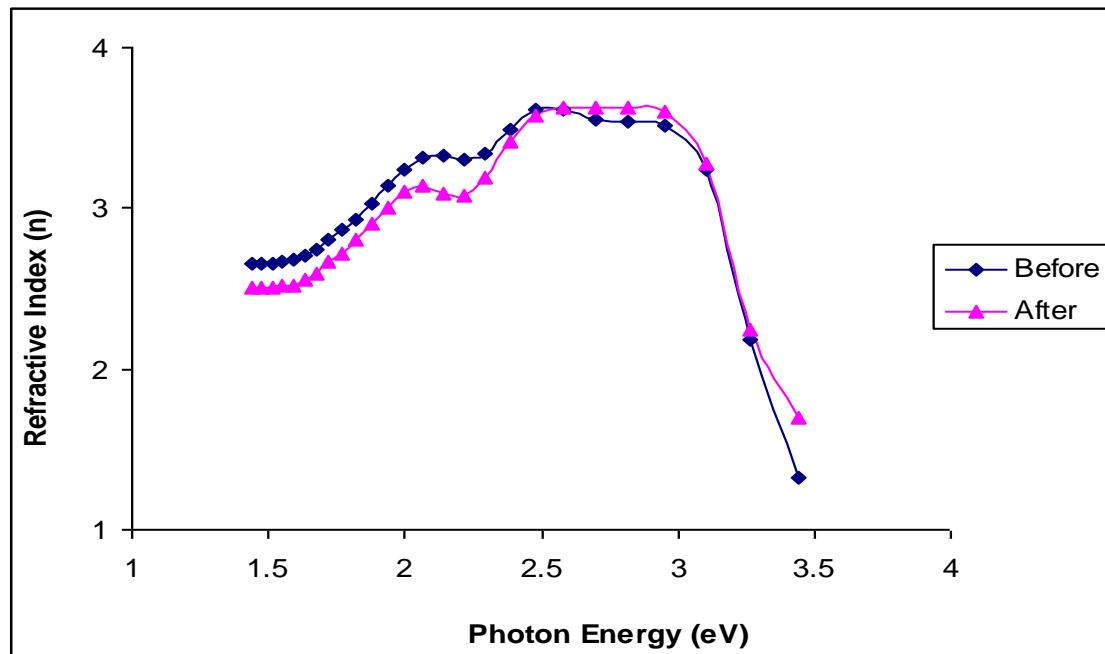


طارق عبد الرضا الظاهر؛ سمير عطا مكي وحبيبة كاظم عاتي العتابي

الشكل (3) معامل الامتصاص كدالة لطاقة الفوتون لغشاء  $\text{Cr}_2\text{O}_3$  قبل وبعد التشيع.

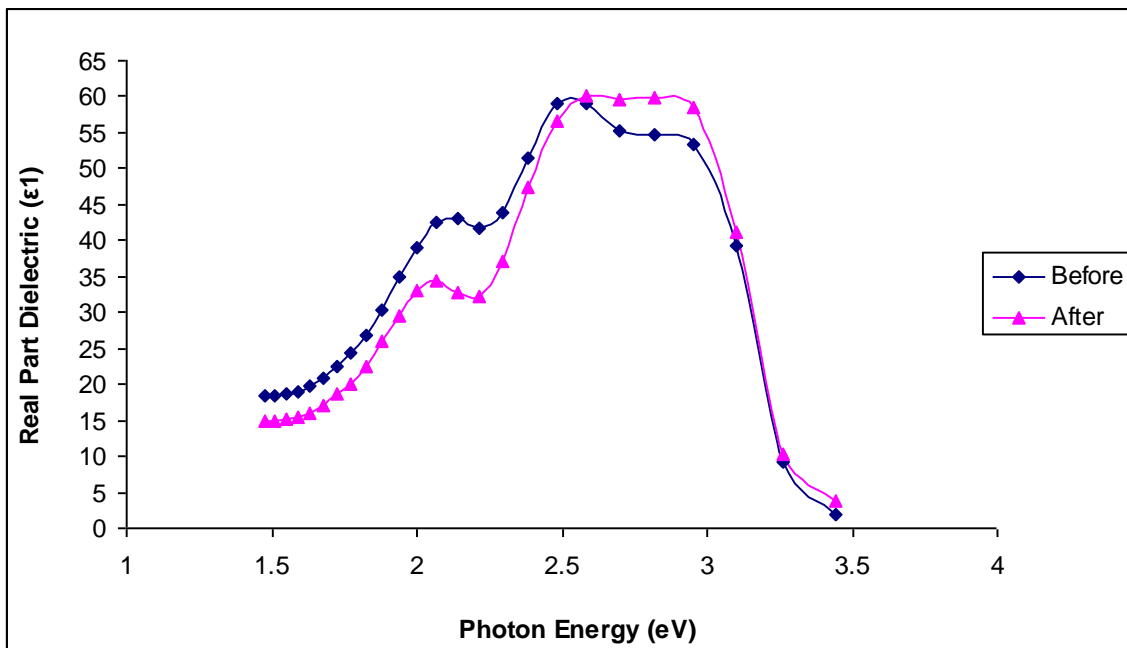


الشكل (4) تغير معامل الخmod كدالة لطاقة الفوتون لغشاء  $\text{Cr}_2\text{O}_3$  قبل وبعد التشيع.

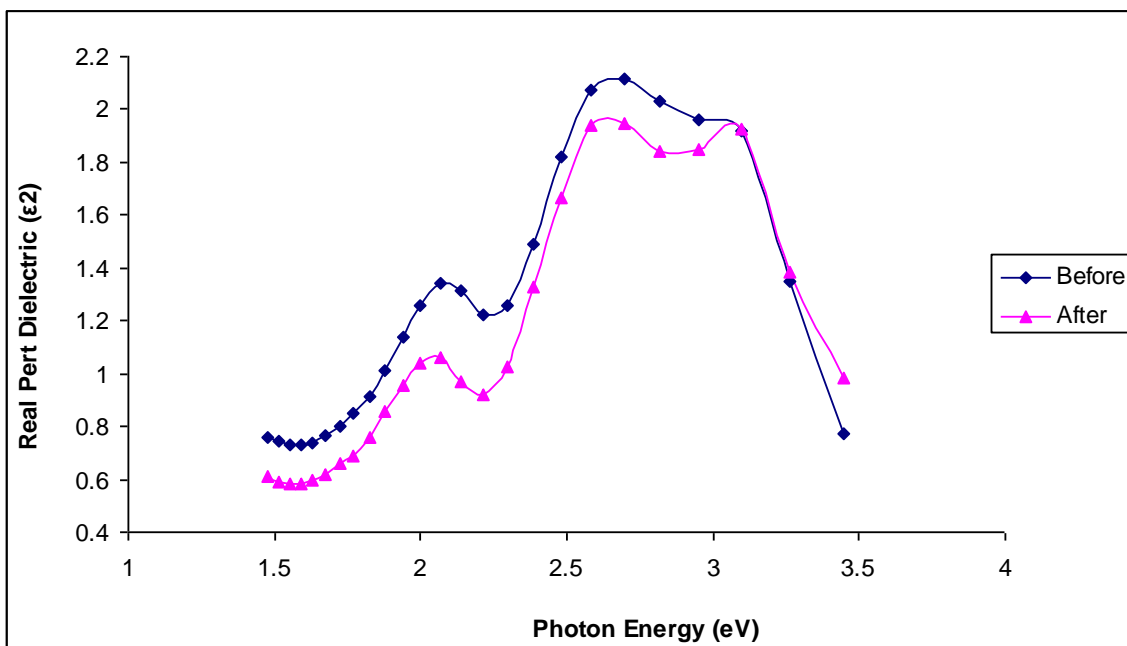


الشكل (5) تغير معامل الانكسار كدالة لطاقة الفوتون لغشاء  $\text{Cr}_2\text{O}_3$  قبل وبعد التشيع.

طارق عبد الرضا الظاهر؛ سمير عطا مكي وحبيبة كاظم عاتي العتابي



الشكل (6) قيم ثابت العزل الحقيقي كدالة لطاقة الفوتون لغشاء  $\text{Cr}_2\text{O}_3$  قبل وبعد التشعيع.



الشكل (7) قيم ثابت العزل الخيالي كدالة لطاقة الفوتون لغشاء  $\text{Cr}_2\text{O}_3$  قبل وبعد التشعيع.

طارق عبد الرضا الظاهر ؛ سمير عطا مكي و حبيبة كاظم عاتي العتابي